

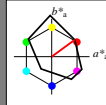
Eingabe: Farbmimetrisches Offset-Reflektiv-System ORS18a

für Buntton $h^* = lab^*h = 36/360 = 0.1$ lab^*ch und lab^*nch

D65: Buntton O

LCH*Ma: 35 76 36

olv*Ma: 1.0 0.0 0.0

Dreiecks-Helligkeit t^* 

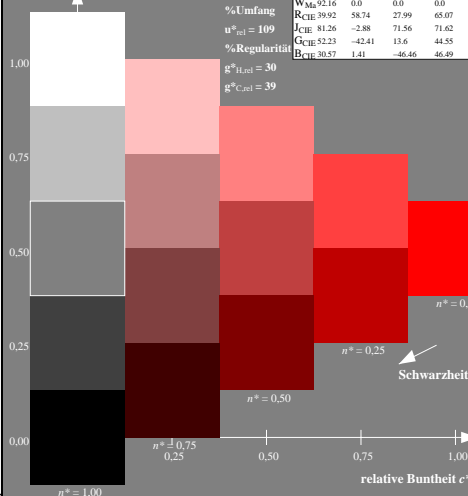
%Umfang

 $u^*_{rel} = 109$

%Regularität

 $g^*_{H,rel} = 30$ $g^*_{C,rel} = 39$

ORS18a; adaptierte CIELAB-Daten						
	$L^* = L^*_a$	a^*_a	b^*_a	$C^*_{ab,a}$	$h^*_{ab,a}$	
O_{Ma}	35.32	60.99	44.6	75.56	36	
Y_{Ma}	83.65	-4.11	108.86	108.94	92	
L_{Ma}	43.49	-61.66	46.73	77.37	143	
C_{Ma}	52.18	-28.14	-32.36	42.9	229	
V_{Ma}	13.71	52.15	-59.7	79.28	311	
M_{Ma}	37.69	79.56	-33.73	86.42	337	
N_{Ma}	8.99	0.0	0.0	0.0	0	
W_{Ma}	92.16	0.0	0.0	0.0	0	
R_{CIE}	39.92	58.74	27.99	65.07	25	
J_{CIE}	81.26	-2.88	71.56	71.62	92	
G_{CIE}	52.23	-42.41	13.6	44.55	162	
B_{CIE}	30.57	1.41	-46.46	46.49	272	



Dg620-7/N, 5-stufige Reihen für konstanten CIELAB Buntton 36/360 = 0.1 (links)

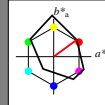
Ausgabe: Farbmimetrisches Offset-Reflektiv-System ORS18a

für Buntton $h^* = lab^*h = 36/360 = 0.1$ lab^*ch und lab^*nch

D65: Buntton O

LCH*Ma: 35 76 36

olv*Ma: 1.0 0.0 0.0

Dreiecks-Helligkeit t^* 

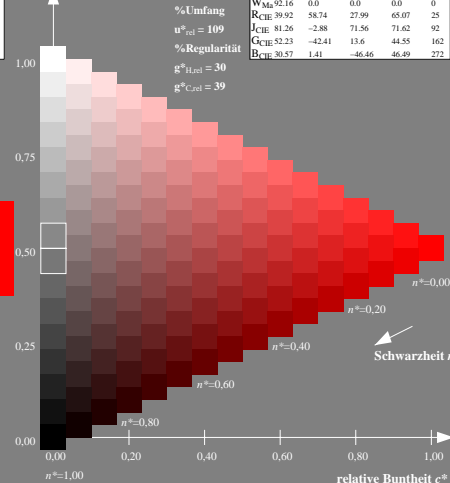
%Umfang

 $u^*_{rel} = 109$

%Regularität

 $g^*_{H,rel} = 30$ $g^*_{C,rel} = 39$

ORS18a; adaptierte CIELAB-Daten						
	$L^* = L^*_a$	a^*_a	b^*_a	$C^*_{ab,a}$	$h^*_{ab,a}$	
O_{Ma}	35.32	60.99	44.6	75.56	36	
Y_{Ma}	83.65	-4.11	108.86	108.94	92	
L_{Ma}	43.49	-61.66	46.73	77.37	143	
C_{Ma}	52.18	-28.14	-32.36	42.9	229	
V_{Ma}	13.71	52.15	-59.7	79.28	311	
M_{Ma}	37.69	79.56	-33.73	86.42	337	
N_{Ma}	8.99	0.0	0.0	0.0	0	
W_{Ma}	92.16	0.0	0.0	0.0	0	
R_{CIE}	39.92	58.74	27.99	65.07	25	
J_{CIE}	81.26	-2.88	71.56	71.62	92	
G_{CIE}	52.23	-42.41	13.6	44.55	162	
B_{CIE}	30.57	1.41	-46.46	46.49	272	



16-stufige Reihen für konstanten CIELAB Buntton 36/360 = 0.1 (rechts)

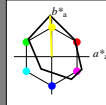
Eingabe: Farbmétrisches Offset-Reflektiv-System ORS18a

für Buntton $h^* = lab^*h = 92/360 = 0.256$ lab^*ch und lab^*nch

D65: Buntton Y

LCH*Ma: 84 109 92

olv*Ma: 1.0 1.0 0.0

Dreiecks-Helligkeit t^* 

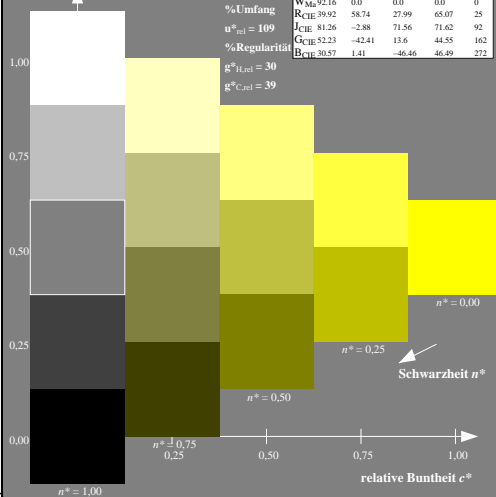
%Umfang

 $u^*_{rel} = 109$

%Regularität

 $g^*_{H,rel} = 30$ $g^*_{C,rel} = 39$

ORS18a; adaptierte CIELAB-Daten					
$L^* = L^*_a$	a^*_a	b^*_a	$C^*_{ab,a}$	$h^*_{ab,a}$	
O_{Ma} 35.32	60.99	44.6	75.56	36	
Y_{Ma} 83.65	-4.11	108.86	108.94	92	
L_{Ma} 43.49	-61.66	46.73	77.37	143	
C_{Ma} 52.18	-28.14	-32.36	42.9	229	
V_{Ma} 13.71	52.15	-59.7	79.28	311	
M_{Ma} 37.69	79.56	-33.73	86.42	337	
N_{Ma} 8.99	0.0	0.0	0.0	0	
W_{Ma} 92.16	0.0	0.0	0.0	0	
R_{CIE} 39.92	58.74	27.99	65.07	25	
J_{CIE} 81.26	-2.88	71.56	71.62	92	
G_{CIE} 52.23	-42.41	13.6	44.55	162	
B_{CIE} 30.57	1.41	-46.46	46.49	272	



Dg620-7/N, 5-stufige Reihen für konstanten CIELAB Buntton 92/360 = 0.256 (links)

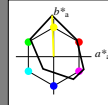
Ausgabe: Farbmétrisches Offset-Reflektiv-System ORS18a

für Buntton $h^* = lab^*h = 92/360 = 0.256$ lab^*ch und lab^*nch

D65: Buntton Y

LCH*Ma: 84 109 92

olv*Ma: 1.0 1.0 0.0

Dreiecks-Helligkeit t^* 

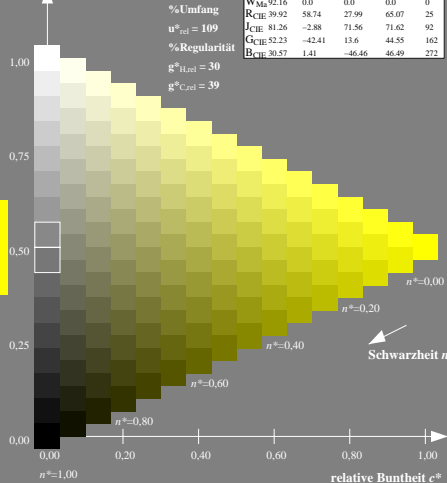
%Umfang

 $u^*_{rel} = 109$

%Regularität

 $g^*_{H,rel} = 30$ $g^*_{C,rel} = 39$

ORS18a; adaptierte CIELAB-Daten					
$L^* = L^*_a$	a^*_a	b^*_a	$C^*_{ab,a}$	$h^*_{ab,a}$	
O_{Ma} 35.32	60.99	44.6	75.56	36	
Y_{Ma} 83.65	-4.11	108.86	108.94	92	
L_{Ma} 43.49	-61.66	46.73	77.37	143	
C_{Ma} 52.18	-28.14	-32.36	42.9	229	
V_{Ma} 13.71	52.15	-59.7	79.28	311	
M_{Ma} 37.69	79.56	-33.73	86.42	337	
N_{Ma} 8.99	0.0	0.0	0.0	0	
W_{Ma} 92.16	0.0	0.0	0.0	0	
R_{CIE} 39.92	58.74	27.99	65.07	25	
J_{CIE} 81.26	-2.88	71.56	71.62	92	
G_{CIE} 52.23	-42.41	13.6	44.55	162	
B_{CIE} 30.57	1.41	-46.46	46.49	272	



16-stufige Reihen für konstanten CIELAB Buntton 92/360 = 0.256 (rechts)

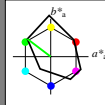
Eingabe: Farbmétrisches Offset-Reflektiv-System ORS18a

für Buntton $h^* = lab^*h = 143/360 = 0.397$ lab^*ch und lab^*nch

D65: Buntton L

LCH*Ma: 43 77 143

olv*Ma: 0.0 1.0 0.0

Dreiecks-Helligkeit t^* 

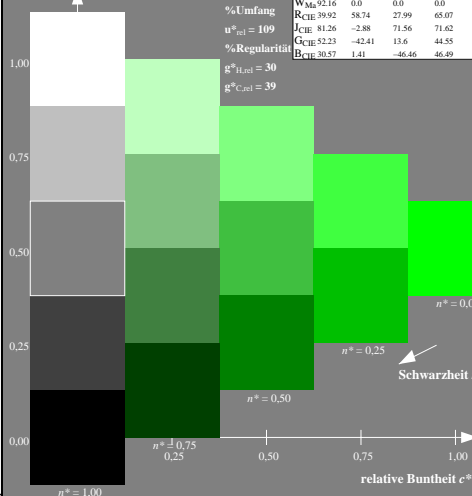
%Umfang

 $u^*_{rel} = 109$

%Regularität

 $g^*_{H,rel} = 30$ $g^*_{C,rel} = 39$

ORS18a; adaptierte CIELAB-Daten					
	$L^* = L^*_a$	a^*_a	b^*_a	$C^*_{ab,a}$	$h^*_{ab,a}$
O_{Ma}	35.32	60.99	44.6	75.56	36
Y_{Ma}	83.65	-4.11	108.86	108.94	92
L_{Ma}	43.49	-61.66	46.73	77.37	143
C_{Ma}	52.18	-28.14	-32.36	42.9	229
V_{Ma}	13.71	52.15	-59.7	79.28	311
M_{Ma}	37.69	79.56	-33.73	86.42	337
N_{Ma}	8.99	0.0	0.0	0.0	0
W_{Ma}	92.16	0.0	0.0	0.0	0
R_{CIE}	39.92	58.74	27.99	65.07	25
J_{CIE}	81.26	-2.88	71.56	71.62	92
G_{CIE}	52.23	-42.41	13.6	44.55	162
B_{CIE}	30.57	1.41	-46.46	46.49	272



Dg620-7/N, 5-stufige Reihen für konstanten CIELAB Buntton 143/360 = 0.397 (links)

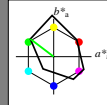
Ausgabe: Farbmétrisches Offset-Reflektiv-System ORS18a

für Buntton $h^* = lab^*h = 143/360 = 0.397$ lab^*ch und lab^*nch

D65: Buntton L

LCH*Ma: 43 77 143

olv*Ma: 0.0 1.0 0.0

Dreiecks-Helligkeit t^* 

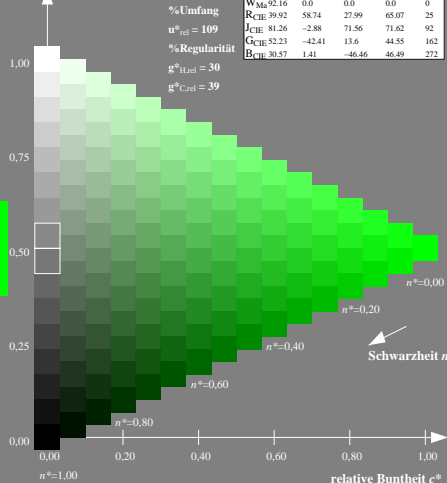
%Umfang

 $u^*_{rel} = 109$

%Regularität

 $g^*_{H,rel} = 30$ $g^*_{C,rel} = 39$

ORS18a; adaptierte CIELAB-Daten					
	$L^* = L^*_a$	a^*_a	b^*_a	$C^*_{ab,a}$	$h^*_{ab,a}$
O_{Ma}	35.32	60.99	44.6	75.56	36
Y_{Ma}	83.65	-4.11	108.86	108.94	92
L_{Ma}	43.49	-61.66	46.73	77.37	143
C_{Ma}	52.18	-28.14	-32.36	42.9	229
V_{Ma}	13.71	52.15	-59.7	79.28	311
M_{Ma}	37.69	79.56	-33.73	86.42	337
N_{Ma}	8.99	0.0	0.0	0.0	0
W_{Ma}	92.16	0.0	0.0	0.0	0
R_{CIE}	39.92	58.74	27.99	65.07	25
J_{CIE}	81.26	-2.88	71.56	71.62	92
G_{CIE}	52.23	-42.41	13.6	44.55	162
B_{CIE}	30.57	1.41	-46.46	46.49	272



16-stufige Reihen für konstanten CIELAB Buntton 143/360 = 0.397 (rechts)

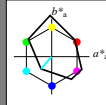
Eingabe: Farbmetrisches Offset-Reflexiv-System ORS18a

für Buntton $h^* = lab^*h = 229/360 = 0.636$ lab^*ch und lab^*nch

D65: Buntton C

LCH*Ma: 52 43 229

olv*Ma: 0.0 1.0 1.0

Dreiecks-Helligkeit t^* 

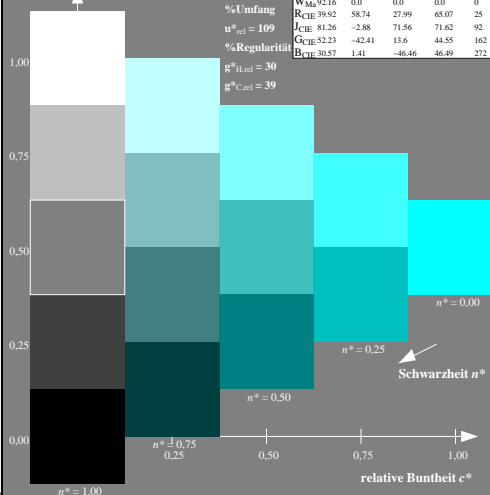
%Umfang

 $u^*_{rel} = 109$

%Regularität

 $g^*_{H,rel} = 30$ $g^*_{C,rel} = 39$

ORS18a; adaptierte CIELAB-Daten					
	$L^* = L^*_a$	a^*_a	b^*_a	$C^*_{ab,a}$	$h^*_{ab,a}$
O_{Ma}	35.32	60.99	44.6	75.56	36
Y_{Ma}	83.65	-4.11	108.86	108.94	92
L_{Ma}	43.49	-61.66	46.73	77.37	143
C_{Ma}	52.18	-28.14	-32.36	42.9	229
V_{Ma}	13.71	52.15	-59.7	79.28	311
M_{Ma}	37.69	79.56	-33.73	86.42	337
N_{Ma}	8.99	0.0	0.0	0.0	0
W_{Ma}	92.16	0.0	0.0	0.0	0
R_{CIE}	39.92	58.74	27.99	65.07	25
J_{CIE}	81.26	-2.88	71.56	71.62	92
G_{CIE}	52.23	-42.41	13.6	44.55	162
B_{CIE}	30.57	1.41	-46.46	46.49	272



Dg620-7/N, 5-stufige Reihen für konstanten CIELAB Buntton 229/360 = 0.636 (links)

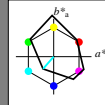
Ausgabe: Farbmetrisches Offset-Reflexiv-System ORS18a

für Buntton $h^* = lab^*h = 229/360 = 0.636$ lab^*ch und lab^*nch

D65: Buntton C

LCH*Ma: 52 43 229

olv*Ma: 0.0 1.0 1.0

Dreiecks-Helligkeit t^* 

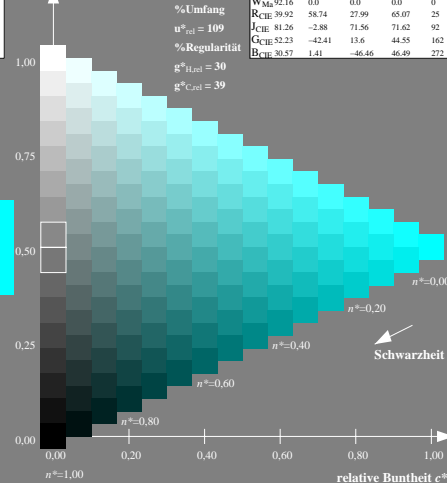
%Umfang

 $u^*_{rel} = 109$

%Regularität

 $g^*_{H,rel} = 30$ $g^*_{C,rel} = 39$

ORS18a; adaptierte CIELAB-Daten					
	$L^* = L^*_a$	a^*_a	b^*_a	$C^*_{ab,a}$	$h^*_{ab,a}$
O_{Ma}	35.32	60.99	44.6	75.56	36
Y_{Ma}	83.65	-4.11	108.86	108.94	92
L_{Ma}	43.49	-61.66	46.73	77.37	143
C_{Ma}	52.18	-28.14	-32.36	42.9	229
V_{Ma}	13.71	52.15	-59.7	79.28	311
M_{Ma}	37.69	79.56	-33.73	86.42	337
N_{Ma}	8.99	0.0	0.0	0.0	0
W_{Ma}	92.16	0.0	0.0	0.0	0
R_{CIE}	39.92	58.74	27.99	65.07	25
J_{CIE}	81.26	-2.88	71.56	71.62	92
G_{CIE}	52.23	-42.41	13.6	44.55	162
B_{CIE}	30.57	1.41	-46.46	46.49	272



16-stufige Reihen für konstanten CIELAB Buntton 229/360 = 0.636 (rechts)

Dg62: Prüfvorlage 1 nach DIN 33872-2, Buntton C, Seite 4/11
Unterscheidbarkeit: 5- und 16-stufige Farbreihen, ORS18aEingabe: rgb ($\rightarrow olv^*$) $setrgbcolor$
Ausgabe: keine Eingabeänderung

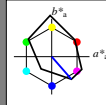
Eingabe: Farbmetrisches Offset-Reflektiv-System ORS18a

für Buntton $h^* = lab^*h = 311/360 = 0.864$ lab^*ch und lab^*nch

D65: Buntton V

LCH*Ma: 14 79 311

ol*Ma: 0.0 0.0 1.0

Dreiecks-Helligkeit t^* 

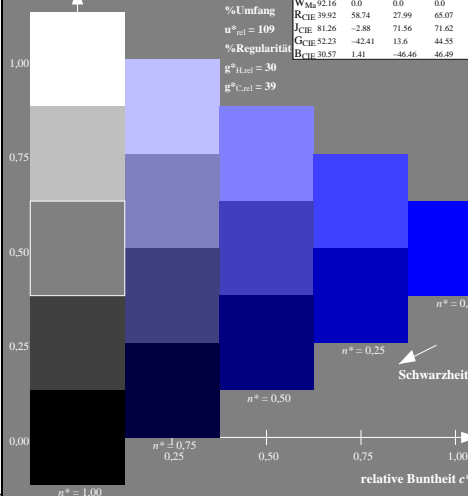
%Umfang

 $u^*_{rel} = 109$

%Regularität

 $g^*_{H,rel} = 30$ $g^*_{C,rel} = 39$

ORS18a; adaptierte CIELAB-Daten						
$L^* = L^*_a$	a^*_a	b^*_a	$C^*_{ab,a}$	$h^*_{ab,a}$		
O_{Ma} 35.32	60.99	44.6	75.56	36		
Y_{Ma} 83.65	-4.11	108.86	108.94	92		
L_{Ma} 43.49	-61.66	46.73	77.37	143		
C_{Ma} 52.18	-28.14	-32.36	42.9	229		
V_{Ma} 13.71	52.15	-59.7	79.28	311		
M_{Ma} 37.69	79.56	-33.73	86.42	337		
N_{Ma} 8.99	0.0	0.0	0.0	0		
W_{Ma} 92.16	0.0	0.0	0.0	0		
R_{CIE} 39.92	58.74	27.99	65.07	25		
J_{CIE} 81.26	-2.88	71.56	71.62	92		
G_{CIE} 52.23	-42.41	13.6	44.55	162		
B_{CIE} 30.57	1.41	-46.46	46.49	272		



Dg620-7/N, 5-stufige Reihen für konstanten CIELAB Buntton 311/360 = 0.864 (links)

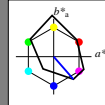
Ausgabe: Farbmetrisches Offset-Reflektiv-System ORS18a

für Buntton $h^* = lab^*h = 311/360 = 0.864$ lab^*ch und lab^*nch

D65: Buntton V

LCH*Ma: 14 79 311

ol*Ma: 0.0 0.0 1.0

Dreiecks-Helligkeit t^* 

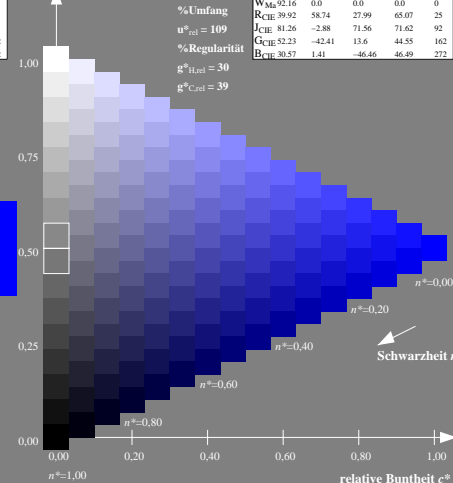
%Umfang

 $u^*_{rel} = 109$

%Regularität

 $g^*_{H,rel} = 30$ $g^*_{C,rel} = 39$

ORS18a; adaptierte CIELAB-Daten						
$L^* = L^*_a$	a^*_a	b^*_a	$C^*_{ab,a}$	$h^*_{ab,a}$		
O_{Ma} 35.32	60.99	44.6	75.56	36		
Y_{Ma} 83.65	-4.11	108.86	108.94	92		
L_{Ma} 43.49	-61.66	46.73	77.37	143		
C_{Ma} 52.18	-28.14	-32.36	42.9	229		
V_{Ma} 13.71	52.15	-59.7	79.28	311		
M_{Ma} 37.69	79.56	-33.73	86.42	337		
N_{Ma} 8.99	0.0	0.0	0.0	0		
W_{Ma} 92.16	0.0	0.0	0.0	0		
R_{CIE} 39.92	58.74	27.99	65.07	25		
J_{CIE} 81.26	-2.88	71.56	71.62	92		
G_{CIE} 52.23	-42.41	13.6	44.55	162		
B_{CIE} 30.57	1.41	-46.46	46.49	272		



16-stufige Reihen für konstanten CIELAB Buntton 311/360 = 0.864 (rechts)

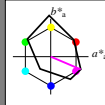
Eingabe: Farbmetrisches Offset-Reflektiv-System ORS18a

für Buntton $h^* = lab^*h = 337/360 = 0.936$ lab^*ch und lab^*nch

D65: Buntton M

LCH*Ma: 38 86 337

olv*Ma: 1.0 0.0 1.0

Dreiecks-Helligkeit t^* 

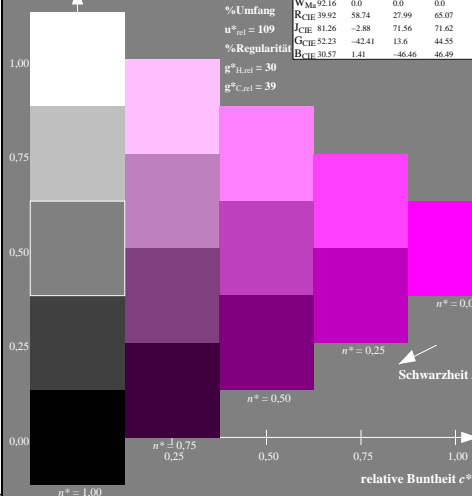
%Umfang

 $u^*_{rel} = 109$

%Regularität

 $g^*_{H,rel} = 30$ $g^*_{C,rel} = 39$

ORS18a; adaptierte CIELAB-Daten					
	$L^* = L^*_a$	a^*_a	b^*_a	$C^*_{ab,a}$	$h^*_{ab,a}$
O_{Ma}	35.32	60.99	44.6	75.56	36
Y_{Ma}	83.65	-4.11	108.86	108.94	92
L_{Ma}	43.49	-61.66	46.73	77.37	143
C_{Ma}	52.18	-28.14	-32.36	42.9	229
V_{Ma}	13.71	52.15	-59.7	79.28	311
M_{Ma}	37.69	79.56	-33.73	86.42	337
N_{Ma}	8.99	0.0	0.0	0.0	0
W_{Ma}	92.16	0.0	0.0	0.0	0
R_{CIE}	39.92	58.74	27.99	65.07	25
J_{CIE}	81.26	-2.88	71.56	71.62	92
G_{CIE}	52.23	-42.41	13.6	44.55	162
B_{CIE}	30.57	1.41	-46.46	46.49	272



Dg620-7/N, 5-stufige Reihen für konstanten CIELAB Buntton 337/360 = 0.936 (links)

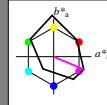
Ausgabe: Farbmetrisches Offset-Reflektiv-System ORS18a

für Buntton $h^* = lab^*h = 337/360 = 0.936$ lab^*ch und lab^*nch

D65: Buntton M

LCH*Ma: 38 86 337

olv*Ma: 1.0 0.0 1.0

Dreiecks-Helligkeit t^* 

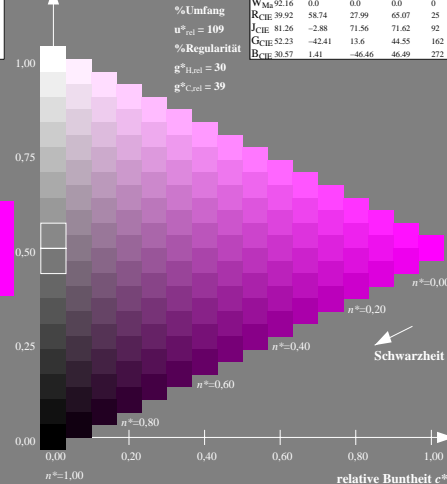
%Umfang

 $u^*_{rel} = 109$

%Regularität

 $g^*_{H,rel} = 30$ $g^*_{C,rel} = 39$

ORS18a; adaptierte CIELAB-Daten					
	$L^* = L^*_a$	a^*_a	b^*_a	$C^*_{ab,a}$	$h^*_{ab,a}$
O_{Ma}	35.32	60.99	44.6	75.56	36
Y_{Ma}	83.65	-4.11	108.86	108.94	92
L_{Ma}	43.49	-61.66	46.73	77.37	143
C_{Ma}	52.18	-28.14	-32.36	42.9	229
V_{Ma}	13.71	52.15	-59.7	79.28	311
M_{Ma}	37.69	79.56	-33.73	86.42	337
N_{Ma}	8.99	0.0	0.0	0.0	0
W_{Ma}	92.16	0.0	0.0	0.0	0
R_{CIE}	39.92	58.74	27.99	65.07	25
J_{CIE}	81.26	-2.88	71.56	71.62	92
G_{CIE}	52.23	-42.41	13.6	44.55	162
B_{CIE}	30.57	1.41	-46.46	46.49	272



16-stufige Reihen für konstanten CIELAB Buntton 337/360 = 0.936 (rechts)

Dg62: Prüfvorlage 1 nach DIN 33872-2, Buntton M, Seite 6/11
Unterscheidbarkeit: 5- und 16-stufige Farbreihen, ORS18aEingabe: rgb ($\rightarrow olv^*$) $setrgbcolor$
Ausgabe: keine Eingabeänderung

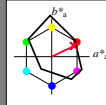
Eingabe: Farbmétrisches Offset-Reflektiv-System ORS18a

für Buntton $h^* = lab^*h = 25/360 = 0.071$ lab^*ch und lab^*nch

D65: Buntton R

LCH*Ma: 36 71 25

olv*Ma: 1.0 0.0 0.18

Dreiecks-Helligkeit t^* 

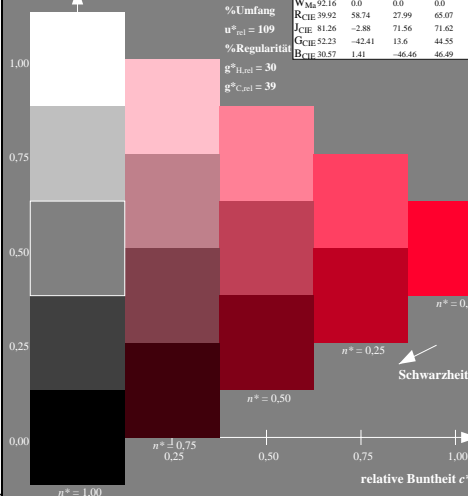
%Umfang

 $u^*_{rel} = 109$

%Regularität

 $g^*_{H,rel} = 30$ $g^*_{C,rel} = 39$

ORS18a; adaptierte CIELAB-Daten					
	$L^* = L^*_a$	a^*_a	b^*_a	$C^*_{ab,a}$	$h^*_{ab,a}$
O_{Ma}	35.32	60.99	44.6	75.56	36
Y_{Ma}	83.65	-4.11	108.86	108.94	92
L_{Ma}	43.49	-61.66	46.73	77.37	143
C_{Ma}	52.18	-28.14	-32.36	42.9	229
V_{Ma}	13.71	52.15	-59.7	79.28	311
M_{Ma}	37.69	79.56	-33.73	86.42	337
N_{Ma}	8.99	0.0	0.0	0.0	0
W_{Ma}	92.16	0.0	0.0	0.0	0
R_{CIE}	39.92	58.74	27.99	65.07	25
J_{CIE}	81.26	-2.88	71.56	71.62	92
G_{CIE}	52.23	-42.41	13.6	44.55	162
B_{CIE}	30.57	1.41	-46.46	46.49	272



Dg620-7/N, 5-stufige Reihen für konstanten CIELAB Buntton 25/360 = 0.071 (links)

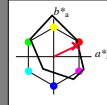
Ausgabe: Farbmétrisches Offset-Reflektiv-System ORS18a

für Buntton $h^* = lab^*h = 25/360 = 0.071$ lab^*ch und lab^*nch

D65: Buntton R

LCH*Ma: 36 71 25

olv*Ma: 1.0 0.0 0.18

Dreiecks-Helligkeit t^* 

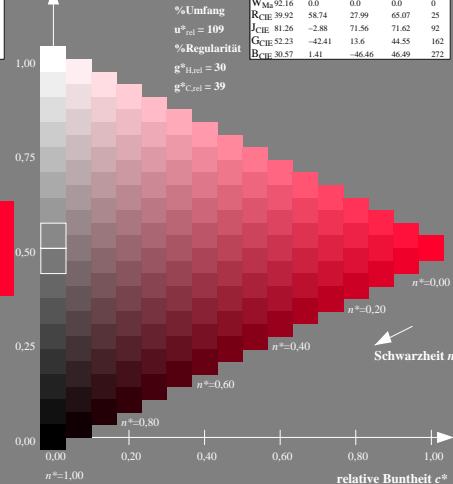
%Umfang

 $u^*_{rel} = 109$

%Regularität

 $g^*_{H,rel} = 30$ $g^*_{C,rel} = 39$

ORS18a; adaptierte CIELAB-Daten					
	$L^* = L^*_a$	a^*_a	b^*_a	$C^*_{ab,a}$	$h^*_{ab,a}$
O_{Ma}	35.32	60.99	44.6	75.56	36
Y_{Ma}	83.65	-4.11	108.86	108.94	92
L_{Ma}	43.49	-61.66	46.73	77.37	143
C_{Ma}	52.18	-28.14	-32.36	42.9	229
V_{Ma}	13.71	52.15	-59.7	79.28	311
M_{Ma}	37.69	79.56	-33.73	86.42	337
N_{Ma}	8.99	0.0	0.0	0.0	0
W_{Ma}	92.16	0.0	0.0	0.0	0
R_{CIE}	39.92	58.74	27.99	65.07	25
J_{CIE}	81.26	-2.88	71.56	71.62	92
G_{CIE}	52.23	-42.41	13.6	44.55	162
B_{CIE}	30.57	1.41	-46.46	46.49	272



16-stufige Reihen für konstanten CIELAB Buntton 25/360 = 0.071 (rechts)

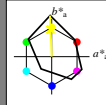
Eingabe: Farbmétrisches Offset-Reflektiv-System ORS18a

für Buntton $h^* = lab^*h = 92/360 = 0.256$ lab^*ch und lab^*nch

D65: Buntton J

LCH*Ma: 83 109 92

olv*Ma: 1.0 1.0 0.0

Dreiecks-Helligkeit t^* 

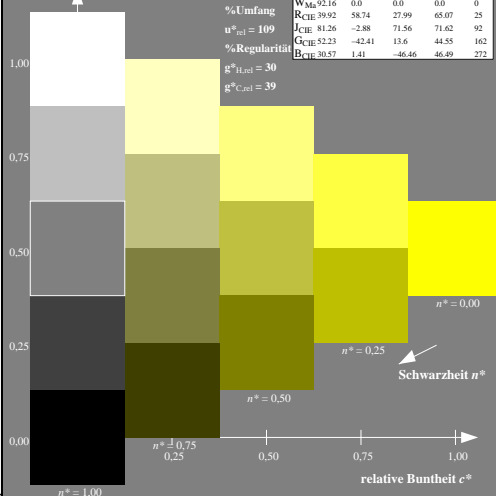
%Umfang

 $u^*_{rel} = 109$

%Regularität

 $g^*_{H,rel} = 30$ $g^*_{C,rel} = 39$

ORS18a; adaptierte CIELAB-Daten					
$L^* = L^*_a$	a^*_a	b^*_a	$C^*_{ab,a}$	$h^*_{ab,a}$	
O_{Ma} 35.32	60.99	44.6	75.56	36	
Y_{Ma} 83.65	-4.11	108.86	108.94	92	
L_{Ma} 43.49	-61.66	46.73	77.37	143	
C_{Ma} 52.18	-28.14	-32.36	42.9	229	
V_{Ma} 13.71	52.15	-59.7	79.28	311	
M_{Ma} 37.69	79.56	-33.73	86.42	337	
N_{Ma} 8.99	0.0	0.0	0.0	0	
W_{Ma} 92.16	0.0	0.0	0.0	0	
R_{CIE} 39.92	58.74	27.99	65.07	25	
J_{CIE} 81.26	-2.88	71.56	71.62	92	
G_{CIE} 52.23	-42.41	13.6	44.55	162	
B_{CIE} 30.57	1.41	-46.46	46.49	272	



Dg620-7/N, 5-stufige Reihen für konstanten CIELAB Buntton 92/360 = 0.256 (links)

Dg62: Prüfvorlage 1 nach DIN 33872-2, Buntton J, Seite 8/11
Unterscheidbarkeit: 5- und 16-stufige Farbreihen, ORS18a

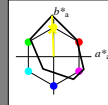
Ausgabe: Farbmétrisches Offset-Reflektiv-System ORS18a

für Buntton $h^* = lab^*h = 92/360 = 0.256$ lab^*ch und lab^*nch

D65: Buntton J

LCH*Ma: 83 109 92

olv*Ma: 1.0 1.0 0.0

Dreiecks-Helligkeit t^* 

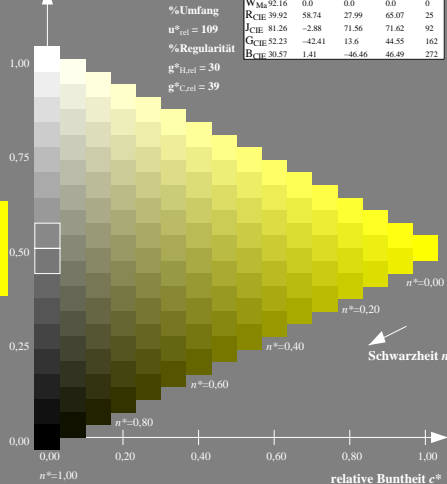
%Umfang

 $u^*_{rel} = 109$

%Regularität

 $g^*_{H,rel} = 30$ $g^*_{C,rel} = 39$

ORS18a; adaptierte CIELAB-Daten					
$L^* = L^*_a$	a^*_a	b^*_a	$C^*_{ab,a}$	$h^*_{ab,a}$	
O_{Ma} 35.32	60.99	44.6	75.56	36	
Y_{Ma} 83.65	-4.11	108.86	108.94	92	
L_{Ma} 43.49	-61.66	46.73	77.37	143	
C_{Ma} 52.18	-28.14	-32.36	42.9	229	
V_{Ma} 13.71	52.15	-59.7	79.28	311	
M_{Ma} 37.69	79.56	-33.73	86.42	337	
N_{Ma} 8.99	0.0	0.0	0.0	0	
W_{Ma} 92.16	0.0	0.0	0.0	0	
R_{CIE} 39.92	58.74	27.99	65.07	25	
J_{CIE} 81.26	-2.88	71.56	71.62	92	
G_{CIE} 52.23	-42.41	13.6	44.55	162	
B_{CIE} 30.57	1.41	-46.46	46.49	272	



16-stufige Reihen für konstanten CIELAB Buntton 92/360 = 0.256 (rechts)

Eingabe: rgb ($\rightarrow rgb^*$) $setrgbcolor$
Ausgabe: keine Eingabeänderung

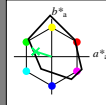
Eingabe: Farbmetrisches Offset-Reflexiv-System ORS18a

für Buntton $h^* = lab^*h = 162/360 = 0.451$ lab^*ch und lab^*nch

D65: Buntton G

LCH*Ma: 47 51 162

olv*Ma: 0.0 1.0 0.39

Dreiecks-Helligkeit t^* 

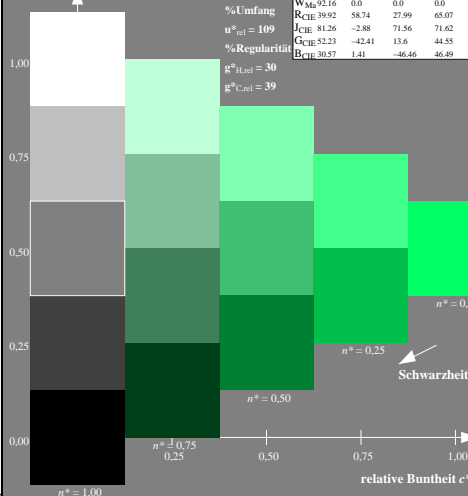
%Umfang

 $u^*_{rel} = 109$

%Regularität

 $g^*_{H,rel} = 30$ $g^*_{C,rel} = 39$

ORS18a; adaptierte CIELAB-Daten					
	$L^* = L^*_a$	a^*_a	b^*_a	$C^*_{ab,a}$	$h^*_{ab,a}$
O_{Ma}	35.32	60.99	44.6	75.56	36
Y_{Ma}	83.65	-4.11	108.86	108.94	92
L_{Ma}	43.49	-61.66	46.73	77.37	143
C_{Ma}	52.18	-28.14	-32.36	42.9	229
V_{Ma}	13.71	52.15	-59.7	79.28	311
M_{Ma}	37.69	79.56	-33.73	86.42	337
N_{Ma}	8.99	0.0	0.0	0.0	0
W_{Ma}	92.16	0.0	0.0	0.0	0
R_{CIE}	39.92	58.74	27.99	65.07	25
J_{CIE}	81.26	-2.88	71.56	71.62	92
G_{CIE}	52.23	-42.41	13.6	44.55	162
B_{CIE}	30.57	1.41	-46.46	46.49	272



Dg620-7/N, 5-stufige Reihen für konstanten CIELAB Buntton 162/360 = 0.451 (links)

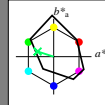
Ausgabe: Farbmetrisches Offset-Reflexiv-System ORS18a

für Buntton $h^* = lab^*h = 162/360 = 0.451$ lab^*ch und lab^*nch

D65: Buntton G

LCH*Ma: 47 51 162

olv*Ma: 0.0 1.0 0.39

Dreiecks-Helligkeit t^* 

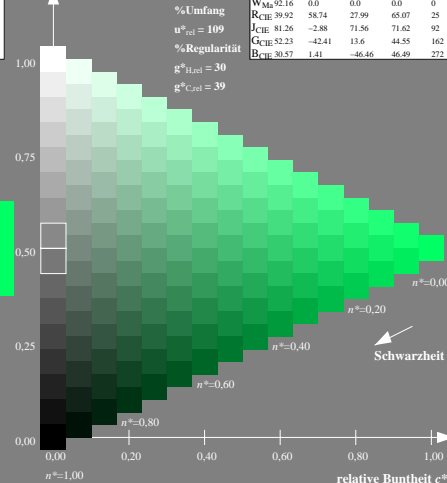
%Umfang

 $u^*_{rel} = 109$

%Regularität

 $g^*_{H,rel} = 30$ $g^*_{C,rel} = 39$

ORS18a; adaptierte CIELAB-Daten					
	$L^* = L^*_a$	a^*_a	b^*_a	$C^*_{ab,a}$	$h^*_{ab,a}$
O_{Ma}	35.32	60.99	44.6	75.56	36
Y_{Ma}	83.65	-4.11	108.86	108.94	92
L_{Ma}	43.49	-61.66	46.73	77.37	143
C_{Ma}	52.18	-28.14	-32.36	42.9	229
V_{Ma}	13.71	52.15	-59.7	79.28	311
M_{Ma}	37.69	79.56	-33.73	86.42	337
N_{Ma}	8.99	0.0	0.0	0.0	0
W_{Ma}	92.16	0.0	0.0	0.0	0
R_{CIE}	39.92	58.74	27.99	65.07	25
J_{CIE}	81.26	-2.88	71.56	71.62	92
G_{CIE}	52.23	-42.41	13.6	44.55	162
B_{CIE}	30.57	1.41	-46.46	46.49	272



16-stufige Reihen für konstanten CIELAB Buntton 162/360 = 0.451 (rechts)

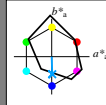
Eingabe: Farbmetrisches Offset-Reflexiv-System ORS18a

für Buntton $h^* = \text{lab}^*h = 272/360 = 0.755$ lab^*ch und lab^*nch

D65: Buntton B

LCH*Ma: 38 42 272

olv*Ma: 0.0 0.63 1.0

Dreiecks-Helligkeit t^* 

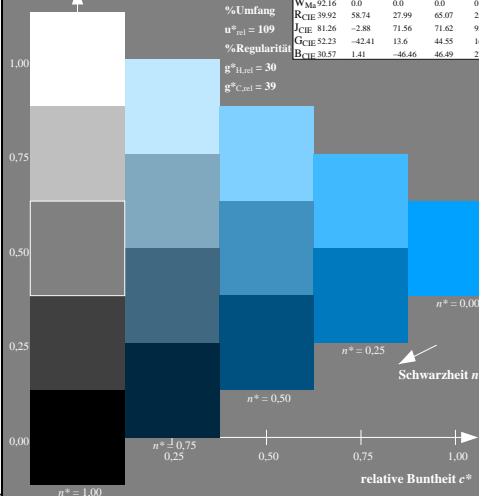
%Umfang

 $u^*_{\text{rel}} = 109$

%Regularität

 $g^*_{H,\text{rel}} = 30$ $g^*_{C,\text{rel}} = 39$

ORS18a; adaptierte CIELAB-Daten					
	$L^* = L^*_a$	a^*_a	b^*_a	$C^*_{ab,a}$	$h^*_{ab,a}$
O _{Ma}	35.32	60.99	44.6	75.56	36
Y _{Ma}	83.65	-4.11	108.86	108.94	92
L _{Ma}	43.49	-61.66	46.73	77.37	143
C _{Ma}	52.18	-28.14	-32.36	42.9	229
V _{Ma}	13.71	52.15	-59.7	79.28	311
M _{Ma}	37.69	79.56	-33.73	86.42	337
N _{Ma}	8.99	0.0	0.0	0.0	0
W _{Ma}	92.16	0.0	0.0	0.0	0
R _{CIE}	39.92	58.74	27.99	65.07	25
J _{CIE}	81.26	-2.88	71.56	71.62	92
G _{CIE}	52.23	-42.41	13.6	44.55	162
B _{CIE}	30.57	1.41	-46.46	46.49	272



Dg620-7/N, 5-stufige Reihen für konstanten CIELAB Buntton 272/360 = 0.755 (links)

Dg62: Prüfvorlage 1 nach DIN 33872-2, Buntton B, Seite 10/11
Unterscheidbarkeit: 5- und 16-stufige Farbreihen, ORS18a

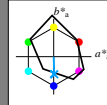
Ausgabe: Farbmetrisches Offset-Reflexiv-System ORS18a

für Buntton $h^* = \text{lab}^*h = 272/360 = 0.755$ lab^*ch und lab^*nch

D65: Buntton B

LCH*Ma: 38 42 272

olv*Ma: 0.0 0.63 1.0

Dreiecks-Helligkeit t^* 

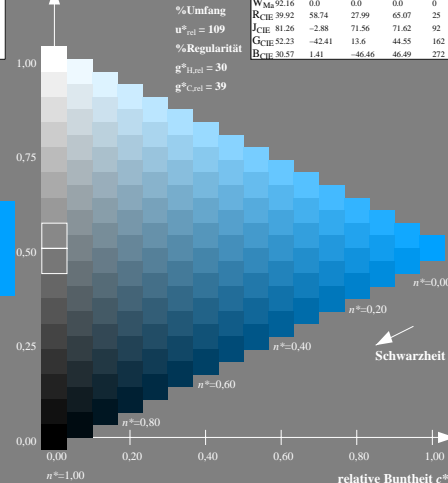
%Umfang

 $u^*_{\text{rel}} = 109$

%Regularität

 $g^*_{H,\text{rel}} = 30$ $g^*_{C,\text{rel}} = 39$

ORS18a; adaptierte CIELAB-Daten					
	$L^* = L^*_a$	a^*_a	b^*_a	$C^*_{ab,a}$	$h^*_{ab,a}$
O _{Ma}	35.32	60.99	44.6	75.56	36
Y _{Ma}	83.65	-4.11	108.86	108.94	92
L _{Ma}	43.49	-61.66	46.73	77.37	143
C _{Ma}	52.18	-28.14	-32.36	42.9	229
V _{Ma}	13.71	52.15	-59.7	79.28	311
M _{Ma}	37.69	79.56	-33.73	86.42	337
N _{Ma}	8.99	0.0	0.0	0.0	0
W _{Ma}	92.16	0.0	0.0	0.0	0
R _{CIE}	39.92	58.74	27.99	65.07	25
J _{CIE}	81.26	-2.88	71.56	71.62	92
G _{CIE}	52.23	-42.41	13.6	44.55	162
B _{CIE}	30.57	1.41	-46.46	46.49	272



16-stufige Reihen für konstanten CIELAB Buntton 272/360 = 0.755 (rechts)

Eingabe: rgb ($\rightarrow rgb^*$) setrgbcolor
Ausgabe: keine Eingabeänderung